

V-58 配合の異なるコンクリートのAE挙動について

千葉工業大学 正会員 足立一郎

佐藤工業（株） 正会員 ○木村定雄 津田昌秀 鍋谷雅司

1. はじめに

近年、AE（アコースティック・エミッション）手法を用いたコンクリートの力学特性の研究が盛んに行なわれている。また、コンクリート構造物の劣化診断方法等の一つとして、この手法の適用が期待されている。しかしながら、コンクリート材料のAE特性には今だ不明な点が多く、その解明が急がれている。そこで本研究は「AE手法によりコンクリートの健全性を評価するための基礎的資料を得る」ことを目的として配合を種々に変えたコンクリートの一軸圧縮試験時にAE計測を行い、コンクリートの力学特性とAE分析パラメータとの相関性について検討したものである。

2. 実験概要

本実験はコンクリートの一軸圧縮試験時にAE計測を実施したものである。実験に用いた供試体は直径10cm、高さ20cmの円柱供試体であり、表1に示した8種類について3体ずつ計24体である。使用したセメントは普通ポルトランドセメントである。細骨材は富士川産川砂（比重2.59、吸水率1.79%、F.M. 2.60）を、粗骨材は富士川産川砂利（比重2.65、吸水率1.32%、F.M. 6.57、Gmax 25mm）を用いた。なお、供試体種類S1～S4は細骨材率45%，S5～S8は40%であり、供試体はすべて28日水中養生したのち実験した。

AE計測システムを図1に示す。このシステムはAEセンサーを供試体側面の上下2カ所（センサー間隔15cm）に設置することにより、一次元的なAE信号の発生源探査を行なうものである。この発生源探査は供試体の上下端面から発生するAE信号を除去することを目的としている。載荷方法は供試体端面にシリコングリースを塗布し、載荷板と供試体との間に厚さ2mmのテフロンシートを敷き、1.25kgf/cm²secの載荷速度とした。このようなシステムにより、AEセンサー設置位置において100μV以上のAE信号を検出したのち、供試体中央から上下5cmの標定区間（10cm）内から発生したAE信号についてデータ処理を行なった。

3. 実験結果およびその考察

圧縮強度とAE事象総数との関係を図2に示した。図中、縦軸はAE事象総数を、横軸は圧縮強度を表している。また、n、rはそれぞれ供試体数、相関係数を表している。これより圧縮強度とAE事象総数との間には正相関があると考えられるが、はっきりした相関は認められない。この理由としてはAEが破壊荷重近傍で集中して発生するため、すべてのAE信号を検出することが困難であったことが挙げられる。荷重と

AE事象数との関係の一例を図3、図4に示した。図中、縦軸はAE事象数を、横軸は載荷荷重を表している。これらの結果より、破壊荷重近傍においてAEが集中して発生していることがよくわかる。この傾向は

表1 供試体の種類とその配合

供試体種類	水セメント比 (%)	単位量 (kg/m ³)		
		セメント	水	砂
S1	40	257	103	939
S2	50	257	129	909
S3	60	257	154	879
S4	70	257	180	849
S5	40	257	103	835
S6	50	257	129	808
S7	60	257	154	782
S8	70	257	180	755

注) S1～S4: 細骨材率 45%
S5～S8: 細骨材率 40%

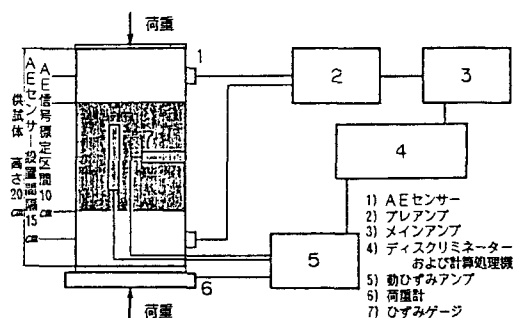


図1 AE計測システム

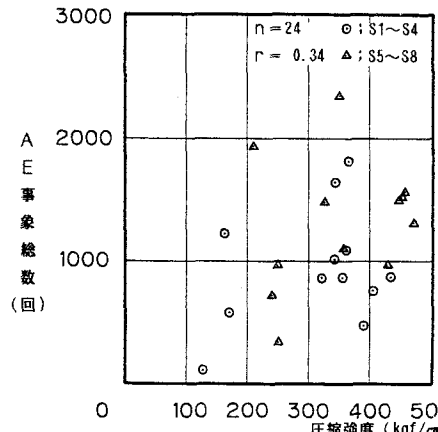


図2 圧縮強度とAE事象総数との関係

圧縮強度(水セメント比)に関係なく同じであり、他の供試体についても同様の結果を得た。図5、図6にリングダウン法によるAE計数率と計測時間の関係を示した。図中、縦軸は10秒当たりのAE計数率を、横軸は計測時間を表している。これらの結果と事象計数法を用いた図3、図4の結果とを比較検討することは、荷重の増加にともなって発生するAE信号の大きさを評価する簡単な方法である。今回の実験ではAE事象数と載荷荷重との関係およびAE計数率と載荷荷重との関係がすべての供試体についてほぼ同じであった。このことは圧縮強度が変化しても破壊過程は変わらないことを示している。図7、図8にAE振幅別頻度分布の一例を示した。図中、縦軸はAE事象数を横軸は最大振幅を表している。これらの図は破壊までに発生したAE信号の累積を示しており、最大振幅が大きくなるほどAE事象数が減少する傾向は他の供試体についても同様であって、文献1)等と同じ傾向を示している。応力・ひずみ・AE事象数の関係の一例を図9に示した。図中、 ε_H , ε_L , $\Delta V/V$ はそれぞれ総ひずみ、横ひずみ、体積ひずみを表している。この結果より、体積ひずみが減少から膨脹に転する臨界点で急激にAEが発生していることが確認された。

4. おわりに

本実験から得られた結論を以下に示す。

- (1) 本実験で用いたコンクリートの場合、圧縮強度(水セメント比)が変わってもAE発生挙動は変わらない。ただし、圧縮強度とAE事象総数との相関性は認められなかった。
- (2) AE分析パラメータの内、事象数、計数率、振幅別頻度分布を用いることによりコンクリートの破壊過程を調査することはコンクリートのひびわれ発生状況を把握する上で有効であると考えられる。

参考文献： 1) 大津「コンクリート材料におけるアコースティック・エミッション特性とその発生機構に関する基礎的研究」 1983年、京都大学博士論文
2) 足立、津田、木村、鍋谷「AE手法によるコンクリートの健全度の調査」 1986年、第8回コンクリート工学年次講演会論文集

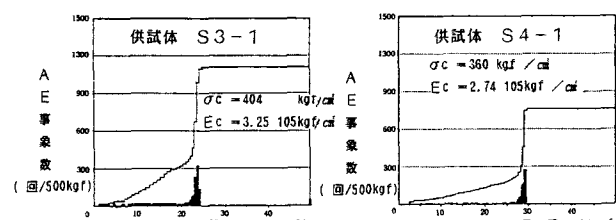


図3 荷重とAE事象数との関係

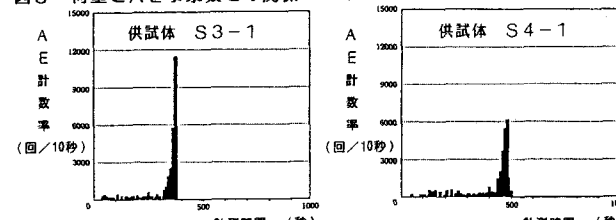


図4 荷重とAE事象数との関係

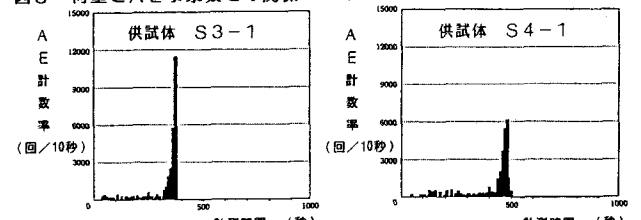


図5 AE計数率と計測時間の関係

図6 AE計数率と計測時間の関係

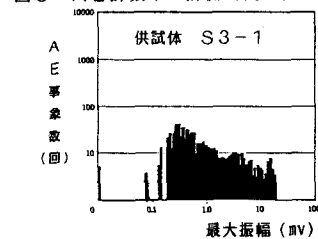


図7 振幅別頻度分布

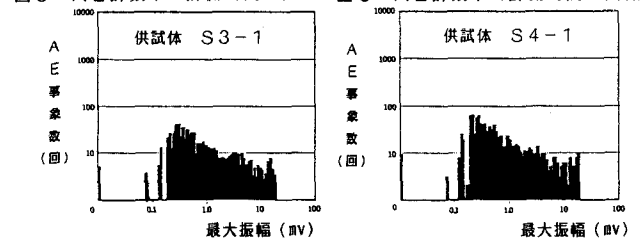


図8 振幅別頻度分布

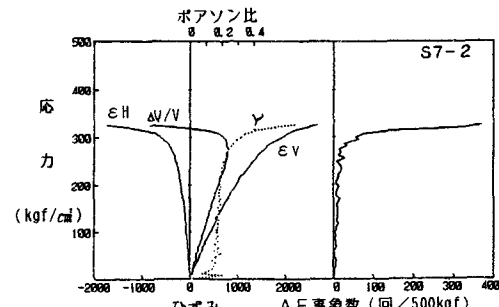


図9 応力・ひずみ・AE事象数の関係